

Magistral boru kəmərlərində metan sızmasının aşkarlanması üçün yeni üsul

R.Ə. Eminov, t.e.n.,
M.M. İsmayılov

Azərbaycan Dövlət Neft və Sənaye Universiteti

e-mail: eminovramiz@mail.ru

Aşar sözdar: metan sızması, magistral boru, aerosol, optik qalınlıq, su buxarı.

DOI.10.37474/0365-8554/2021-2-22-25

Новый метод обнаружения утечки метана из магистральных трубопроводов

Р.А. Эминов, к.т.н., М.М. Исмайлов
Азербайджанский государственный университет
нефти и промышленности

Ключевые слова: утечка метана, магистральный трубопровод, аэрозоль, оптическая толщина, водный пар.

Za последних 200 лет общее содержание метана в атмосфере возросло в два раза. Начиная с 1990-х гг. годовые темпы роста метана резко увеличились. Источниками утечек метана в атмосферу являются также резервуары хранения этих газов, различные нефтеперерабатывающие предприятия, магистральные трубопроводы и транспортные средства, осуществляющие их транспортировку.

Разработан новый метод обнаружения утечек метана из магистральных трубопроводов и показан порядок его реализации. Дан математический алгоритм этого метода и получена формула вычисления оптической толщины метана над трассой. Полученная формула дает возможность диагностирования утечек в газовых трубопроводах на расстоянии. Составлена блок-схема операционного алгоритма реализации предлагаемого метода.

New method for detection of methane escape from the main pipelines

R.A. Eminov, Cand. in Tech.Sc., M.M. Ismaylov
Azerbaijan State University of Oil and Industry

Keywords: methane escape, main pipeline, aerosol, optical thickness, water vapour.

Total methane content in the atmosphere has increased for two times during last two hundred years. Since 1990s, the annual rate of growth for methane dramatically increased. The sources of methane emissions to the air are their storage reservoirs, different oil-gas refineries, main pipelines and their transport facilities as well.

A new method for detection of methane escape from the main pipelines has been developed and the order of its realization shown. Mathematic algorithm of the method is presented and the calculation formula for optical thickness of methane over the track obtained. Obtained formula allows diagnosing the escapes in gas pipelines distantly. Block-scheme of operation algorithm of the realization of offered method has been developed as well.

Giriş

Məlumdur ki, boru kəmərlərində baş verən sızmaların daqiq təyini əsurlardan biri yüksək atmosfer təzyiğlərdən toplanmış metanın (CH_4) kontur xəttinin genişlənəsənin nəzərə alınmasıdır.

CH_4 optik rasiyası enerjisini özüne effektiv şəkə bilən uzunmürlü buxar qazı hesab olunur [1]. Son 200 ildə atmosferdəki metanın ümumi miqdarı iki dəfə artıb, 1990-ci illərdən başlayaraq bu qazın ılık artım tempi xeyli yüksəlib. 2012-ci ildə atmosferdəki CH_4 -ün orta topluslu 1.8 ppm qiymətinə çatmışdır. CH_4 toplumunun artma sabablərindən biri bu qazın yer üzərindəki müxtəlif geoloji qırımlar və vulkanlardan sızmaları hesab olunur. Bir ildə bu sızmaların həcmi təqribən 30 t təşkil edir [2]. Metan sızmasının başqa mənbələri kimi həmin qazların saxlanma rezervuarları, müxtəlif neft emalı məhsusları, magistral boru kəmərləri və onları daşıyan nəqliyyat vasitələrini qeyd etmək olar. Onlardan sızan qazları məsafədən ölçün spektroradiometrlər vasitəsilə aşkar etmək olar. Üfüqi trassalar və həmçinin magistral boru kəmərləri boyu təbiq olunan bu cihazların işi absorbtion spektroskopiya principinə əsaslanır. Bu prinsip fərdi halda xarici şüalandırıcılarla və onlarsız işləyən DOAC tipli cihazlarda realizə olunur. Məqalədə boru kəmərlərində sızmaları aşkar etmək üçün atmosfer təzyiğinin dəyişməsi təsirindən azad olunmuş yeni yüksəkdəqiqiliyi işlətən keçmə spektrləri işlədilmişdir.

Mövcud üsulların təhlili

Təklif olunan üsullen şərhindən əvvəl 2.3 mkm diapazonunda CH_4 -ün absorbtion spektroskopiya nəzəriyyəsinin əsası qisaca nəzərdən keçirək.

Məlumdur ki, absorbtion spektroskopiyının əsası Buger-Ber qanunu təşkil edir. Bu qanuna əsasən buraxma əmsali $I(v)$ (v – tezlikdir, sm^{-1}) olan optik şüalandırma qazlı mühitin keçirən intensivliyinə görə eksponentsiyal qanuna uyğun zəifləyir

$$I_v = I_0 \bar{T}(v) = I_0 \exp(-k_v L), \quad (1)$$

burada I_0 – qazlı mühitin girişində optik radiasiyanın başlangıç intensivliyi; I_v – qazlı mühitin çıxışında zəifləmiş optik radiasiyanın intensivliyi; k_v – absorbtionun spektral əmsali, sm^{-1} ; L – qazlı mühitin optik radiasiyanın keçmə yoluñun uzunluğu.

Absorbtionun spektral əmsali bu düstürə təyin olunur [3]:

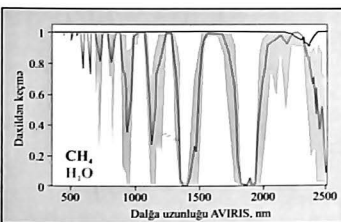
$$k_v = \sum_{i=1}^N S_i(T) \Psi_i(\Delta v, v) p x, \quad (2)$$

burada N – keçmələrin ümumi sayıda optik radiasiyanın daxilə çökülməsinə təsir edən keçmələrin sayı; p – mühitin ümumi təzyiqi, MPa; x – qaz toplusunun miqdarı, mol; S_i – T hərəkətində maksimuma qatır. 1.375, 1.90 və 2.5 mkm dalğı uzunluqlarında su buxarlarının etdiyi daxili çökümləri obyektlərin qaytarma xassalarını bərpə etməyə imkan vermir.

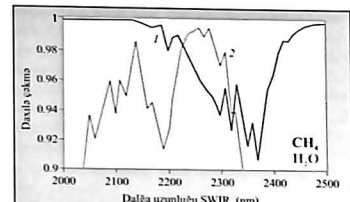
(1) düsturunda (2) düsturunu nəzərə alsaq aşağıdakimilərdir

$$\frac{I_v}{I_0} = \exp \left\{ - \left[\sum_{i=1}^N S_i(T) \Psi_i(\Delta v, v) p x L \right] \right\}. \quad (3)$$

Qeyd olunduğu kimi, 2.4–2.5 mkm dalğı uzunluğunda CH_4 toplusunun məsafədən ölçüləndənə əsas maneq faktoru su buxarlarıdır. Modtran 5.3 modeli əsasında hesablanmış CH_4 -ün və H_2O -nın (su buxarları) daxildən keçmə spektrləri şəkil 1-də göstərilmişdir.



Şəkil 1. Modtran 5.3 modeli əsasında hesablanmış CH_4 -ün və H_2O -nın daxildən keçmə spektrləri



Şəkil 2. 2.2–2.5 mkm diapazonunda daxili çökümlər:
1 – su buxarları; 2 – metan

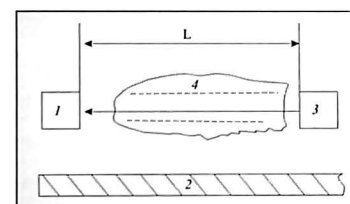
Səkil 2-də 2.2–2.5 mkm diapazonunda su buxarları və metanın daxili çökümləri göstərilmişdir.

Su buxarları on zəif daxili çökümləni 0.60 və 0.66 mkm dalğı uzunluqlarında təşkilir [4]. Bu proses 0.73, 0.82 və 0.91 mkm dalğı uzunluqlarında bir qədər güclənir və 0.94-lə 1.14 mkm qiymətlərində maksimuma qatır. 1.375, 1.90 və 2.5 mkm dalğı uzunluqlarında su buxarlarının etdiyi daxili çökümləri obyektlərin qaytarma xassalarını bərpə etməyə imkan vermir.

Məsələnin həlli

Bu məqalədə magistral boru kəmərlərində CH_4 -ün sızmasının aşkarlanması məqsədi onun toplusunu ölçü bilən yeni trassal ölçmə üsulu təklifi olunur. Bu üsul aşağıdakı qaydada həyata keçirilir.

1. Magistralın başlangıçında quraşdırılmış şüalandırıcı vasitəsilə məlum uzunluqlu məsafə üzərində havanın optik qalınlığının trassal ölçüləndirilir. 2. Magistral üzərində aparılan ölçmələrin sxematič təsviri:



Şəkil 3. Magistral üzərində aparılan ölçmələrin sxematič təsviri:
1 – qabuledicisi; 2 – boru kəməri; 3 – şüalandırıcı; 4 – məlum buldu

Ölçüm 2.3 ± 0.3 mkm diapazonunda aparılır və uzunluğu L olan magistral boyu havanın optik qalınlığı ölçülür.

İmliği τ_a belə tayin olunur:

$$\tau_{a(2,3)} = \tau_{CH_4(2,3)} + \tau_{w(2,3)} + \tau_{ac(2,3)}, \quad (4)$$

burada τ_{CH_4} – uzunluğu L olan magistral boyu $\lambda = 2.3$ mkm dalga üzunluğunda CH_4 -ün optik qalınlığı; $\tau_{w(2,3)}$ – su buxarının optik qalınlığı; $\tau_{ac(2,3)}$ – aerosolun optik qalınlığı.

2. Hamin magistral üzərində $\lambda_s = 0.94$ mkm dalga üzunluğunda analoji ölçmələr aparılır və optik qalınlıq aşağıdakı kimi təyin olunur:

$$\tau_{a(0.94)} = \tau_{w(0.94)} + \tau_{ac(0.94)}. \quad (5)$$

3. Hamin magistral üzərində $\lambda_s = 0.66$ mkm dalga üzunluğunda da analoji ölçmələr aparılır, cümlə burada su buxarlarının təsiri minimaldır. Ölçmələr nəticəsində aşağıdakını alırıq:

$$\tau_{a(0.66)} = \tau_{w(0.66)}. \quad (6)$$

4. Atmosfer aerosol üçün Anqstrem modelindən istifadə edib və $\tau_{ac(0.66)}$ qiymətinə nazara alıb, ekstropoliya yolu ilə $\tau_{ac(0.94)}$ kamışdırıqları alırı. Sonra (5) düsturu əsasında $\tau_{w(0.94)}$ qiyməti hesablanır.

5. Magistral boyu çökmiş suyun ümumi miqdari su buxarlarının optik qalınlığının molum ölçmə modelindən istifadə olunmaqla təyin edilir.

6. Həm yuxarıda, həm də 1-ci bənddə əldə edilmiş ölçmə natiqlərləndən istifadə etməkla magistral boyu CH_4 -ün optik qalınlığı təyin olunur.

Təqdim etdiyimiz əsulda işçi düsturların alınması qaydasını verək.

Atmosfer aerosolunun Anqstrem modelindən görə $\lambda_s = 0.94$ və $\lambda_s = 0.66$ mkm dalga üzunluqlarındaki ölçmə natiqlərini belə ifadə edək [5]

$$\tau_{ac(0.94)} = 0.94^{-\alpha}, \quad (7)$$

$$\tau_{ac(0.66)} = 0.66^{-\alpha}, \quad (8)$$

burada α – aerosol bulanlığı; α – Anqstrem göstəricisidir.

(7) və (8) ifadələrinən alırıq

$$\tau_{ac(0.94)} = \tau_{ac(0.66)}(1.43)^{-\alpha}. \quad (9)$$

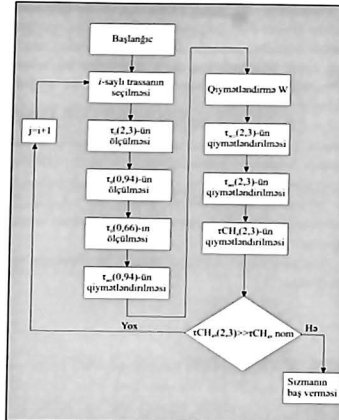
Su buxarlarının optik qalınlığının modeli kimi təkif olunan bu ifadədən istifadə edək [6]

$$\tau_{w(0.94)} = a_i(0.94)(m_w W)^{\frac{1}{2}}, \quad (10)$$

burada $a_i(0.94) = 0.94$ mkm dalga üzunluğunda su buxarlarının daxili çəkşəmə olsalı; m_w – su buxarlarının optik hava kütlosu; W – çökmiş suyun ümumi miqdardırı.

(5), (9) və (10)-cu ifadələrdən istifadə edərək aşağıdakını alırıq

$$\begin{aligned} \tau_{a(0.94)} &= a_i(0.94)(m_w W)^{\frac{1}{2}} + \\ &+ m_a \tau_{ac(0.66)}(1.43)^{-\alpha}, \end{aligned} \quad (11)$$



Şəkil 4. Magistral qaz boru kamorlarının təkif olunan diaqnostika əsulunun əmaliyyat algoritminin blok-sxemi

burada m_a – aerosolun optik kütlesidir.

(11)-ci ifadədən çökmiş suyun ümumi miqdərini tapırıq

$$W = \frac{1}{m_w} \left[\frac{\tau_{a(0.94)} - m_a \tau_{ac(0.66)} (1.43)^{-\alpha}}{a_i(0.94)} \right]^{-2}. \quad (12)$$

(12) və (10) ifadələrinə nazara alaraq 2.3 mkm dalga üzunluğunda su buxarlarının optik qalınlığıni hesablayırıq

$$\begin{aligned} \tau_{w(2,3)} &= a_i(2,3) \times \\ &\times \left[\frac{\tau_{a(0.94)} - m_a \tau_{ac(0.66)} (1.43)^{-\alpha}}{a_i(0.94)} \right]. \end{aligned} \quad (13)$$

(9) ifadəsinə analoji olaraq 2.3 mkm dalga üzunluğunda aerosolun optik qalınlığını hesablayırıq

$$\tau_{ac(2,3)} = \tau_{ac(0.66)} (3.48)^{-\alpha}. \quad (14)$$

(4)>(13) və (14)-cü ifadələri nazara alaraq aşağıdakını tapırıq

$$\begin{aligned} \tau_{a(2,3)} &= \tau_{CH_4(2,3)} + a_i(2,3) \times \\ &\times \left[\tau_{a(0.94)} - m_a \tau_{ac(0.66)} (1.43)^{-\alpha} \right] + \\ &+ \tau_{ac(0.66)} (3.48)^{-\alpha}. \end{aligned} \quad (15)$$

(15) ifadəsindən magistral boyu metanın optik qalınlığının hesablanması üçün aşağıdakı yekun düsturu alırıq

$$\begin{aligned} \tau_{CH_4(2,3)} &= \tau_{a(2,3)} - \frac{a_i(2,3)}{a_i(0.94)} \times \\ &\times \left[\tau_{a(0.94)} - m_a \tau_{ac(0.66)} (1.43)^{-\alpha} \right] + \\ &+ \tau_{ac(0.66)} (3.48)^{-\alpha}. \end{aligned} \quad (16)$$

Bələdiyə, alınmış (16) düsturu qaz boru kamorlarında baş verən sızmaların məsafədən diaqnostikasına imkan verir. Hesablanmış τ_{CH_4} qiyməti bu parametrin L uzunluqlu magistral boyu nominal

qiymətini xeyli aşarsa, demək olar ki, boru kamorında CH_4 -ün sizməsi baş verir. Təkif olunan əsullen həyata keçirilməsi üçün əmaliyyat algoritminin blok-sxemi şəkil 4-də göstərilmişdir.

Nəticə

1. Magistral boru kamorlarında CH_4 -ün sizməsinin aşkarlanması üçün yeni trassal ölçmə təsliyi işlənməsi və onun yerinə yetirilməsi qaydaları göstərilmişdir.

2. Yeni əsullen riyazi algoritmi verilmiş və magistralda CH_4 -ün optik qalınlığını hesablaşdırmaq üçün düstur almışdır.

3. Təkif olunan əsullen realizasiyası üçün əmaliyyat algoritminin blok-sxemi torib olunmuşdur.

Ədəbiyyat siyahısı

1. Thorpe A.K., Roberts D.A., Bradley E.S. Funk Ch.C. High resolution mapping of methane emissions from marine and terrestrial sources using a Cluster - Tuned Matched Filter technique and imaging spectrometry. Remote Sensing of Environment 134 (2013), pp. 305-318.

2. Kvavolden K.A., Rogers B.W. Gaia's breath - Global methane exhalations. Marine and Petroleum Geology, (2005), 22, pp. 579-590.

3. Cubillas A.M., Lazaro J.M., Conde O.M., Petrovich M.N., Lopez - Higuera J.M. Multi-Line Fit Model for the Detection of Methane at v2 + 2v3 Band using Hollow - Core Photonic Bandgap Fibres.

4. Журалев Ю.Н., Федосеев А.А. Особенности обработки гиперспектральных данных дистанционного зондирования при решении задач мониторинга охрупчивания среды // Cybermetika.ru

5. O'Neill N.T., Eck T.F., Holben B.N., Smirnov A., Royer A., and Li Z. Optical properties of boreal forest fire smoke derived from Sun photometry // Journal of the geophysical research, vol. 107, No. D11 10.1029/2001JD000877, 2002.

6. Guzz R., Rizz R. Water vapor absorption in the visible and near infrared: results of field measurements. Applied Optics/vol. 23, № 11 / 1 June 1984, pp. 1851-1858.

References

1. Thorpe A.K., Roberts D.A., Bradley E.S. Funk Ch.C. High resolution mapping of methane emissions from marine and terrestrial sources using a Cluster - Tuned Matched Filter technique and imaging spectrometry // Remote Sensing of Environment 134 (2013), pp. 305-318.

2. Kvavolden K.A., Rogers B.W. Gaia's breath - Global methane exhalations. Marine and Petroleum Geology, (2005), 22, pp. 579-590.

3. Cubillas A.M., Lazaro J.M., Conde O.M., Petrovich M.N., Lopez - Higuera J.M. Multi-Line Fit Model for the Detection of Methane at v2 + 2v3 Band using Hollow - Core Photonic Bandgap Fibres.

4. Журалев Ю.Н., Федосеев А.А. Особенности обработки гиперспектральных данных дистанционного зондирования при решении задач мониторинга охрупчивания среды // Cybermetika.ru

5. O'Neill N.T., Eck T.F., Holben B.N., Smirnov A., Royer A., and Li Z. Optical properties of boreal forest fire smoke derived from Sun photometry // Journal of the geophysical research, vol. 107, No. D11 10.1029/2001JD000877, 2002.

6. Guzz R., Rizz R. Water vapor absorption in the visible and near infrared: results of field measurements. Applied Optics / vol. 23, No 11, 1 June 1984, pp. 1851-1858.